

УДК 539.376

**МЕТОДИКА ВЫЧИСЛЕНИЯ ЯДРА  
НАСЛЕДСТВЕННОГО ОПРЕДЕЛЯЮЩЕГО УРАВНЕНИЯ  
ПО ДАННЫМ ДИНАМИЧЕСКОГО ЭКСПЕРИМЕНТА**

ОСОКИН А. Е., ПРЯХИН Г. В.

В современной технике, как известно, широко используются элементы конструкций из полимеров и композитов. При деформировании этих материалов существенны временные эффекты, для математического описания которых как в статике, так и в динамике успешно применяется нелинейная наследственная теория [1–3]. В случае одноосного нагружения наследственное определяющее уравнение можно выбрать в виде

$$\varphi[\varepsilon(t)] = \sigma(t) + \int_0^t F(t-\tau) \sigma(\tau) d\tau \quad (0.1)$$

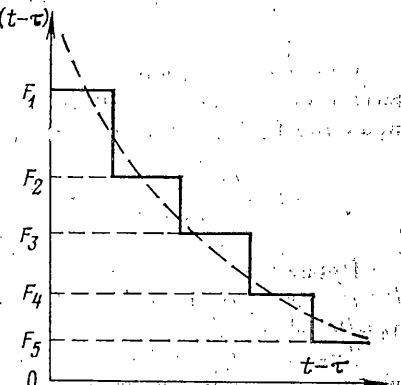
Здесь  $\sigma$  – напряжение,  $\varepsilon$  – деформация,  $t$  – время,  $\dot{\sigma} = \varphi[\varepsilon]$  – уравнение кривой мгновенного деформирования,  $F(t-\tau)$  – ядро интегрального уравнения, определяющее наследственные свойства материала.

Задачу восстановления входящих в (0.1) функций и параметров по экспериментальным данным будем, следуя [4, 5], называть обратной задачей.

В [6] поставлена и решена обратная задача для частного случая уравнения (0.1), когда  $\varphi[\varepsilon] = E\varepsilon$ , а  $F(t-\tau) = k\vartheta_{-\alpha}(\beta, t-\tau)$  – дробно-экспоненциальная функция Работникова [7], при этом эксперименты представляют собой серию квазистатических испытаний при постоянных напряжениях (ползучесть). Методика, свободная от указанных ограничений, построена в [5], где обработаны результаты испытаний в режимах  $\sigma = \text{const}$  и  $d\sigma/dt = \text{const}$  для дробно-экспоненциального ядра и ядра Абеля  $F(t-\tau) = k(t-\tau)^{-\alpha}$ , проведено сравнение определяющих уравнений с различными ядрами.

Таким образом, при обработке результатов квазистатических экспериментов ядра выбирались из заранее определенных классов функций, каждая из которых содержала два или три параметра. Увеличение числа  $N$  таких параметров приводит к увеличению объема вычислений при решении обратной задачи по закону  $A^N$ , где  $A$  – число действий, необходимое для решения обратной задачи в случае однопараметрического ядра [5].

В публикуемой работе предложена методика восстановления ядра по результатам волнового эксперимента, в котором измерению подлежат напряжения в точке жесткого закрепления стержня или нити из исследуемого материала, а нагружение производится продольным растягивающим ударом с постоянной скоростью. При обработке таких экспериментальных данных оказывается возможным последовательно восстанавливать параметры ядра, заданного в виде произвольного набора ступенек. Такое ядро показано на фиг. 1 и определяется  $N$  параметрами  $F_1, F_2, \dots, F_N$ . С ростом  $N$  объем вычислений, как было отмечено в [8], растет по закону  $AN$ . Методика реализована в программе, составленной на языке ФОРТРАН, при помощи которой обработаны результаты экспериментов, проведенных с капиллярными нитями.



Фиг. 1

1. Получим систему уравнений деформирования стержня при продольном ударе в нормальной характеристической форме, чтобы главная дифференциальная часть содержала производные только по характеристическим направлениям. Для этого к уравнениям движения необходимо добавить дифференциальное следствие определяющего уравнения (0.1).

Возьмем производную от (0.1) по времени. Рассмотрим сначала ядра с интегрируемой особенностью при  $t=\tau$ . Из результатов [9, 10] следует, что в этом случае как напряжения, так и их производные непрерывны на фронте продольной волны, и из (0.1), учитывая коммутативность свертки  $F^*\sigma$ , получим

$$\rho \frac{\partial \varepsilon(x, t)}{\partial t} = c(\varepsilon)^{-2} \left\{ \frac{\partial \sigma(x, t)}{\partial t} + \sigma(x, 0) F(t) + \int_0^t \frac{\partial \sigma(x, t-\tau)}{\partial t} F(\tau) d\tau \right\} \quad (1.1)$$

Здесь  $x$  — пространственная лагранжева координата,  $\rho$  — плотность материала в недеформированном состоянии,  $c(\varepsilon) = [d\varphi(\varepsilon)/(d\varepsilon)]^{1/2}$  — скорость продольной волны (волны сжатия или растяжения).

Для регулярного ядра, когда  $F(0)$  ограничено, и на фронте продольной волны существуют разрывы напряжений, искомое дифференциальное следствие удобно выписать в виде

$$\rho \frac{\partial \varepsilon(x, t)}{\partial t} = c(\varepsilon)^{-2} \left\{ \frac{\partial \sigma(x, t)}{\partial t} + \sigma(x, t) F(0) + \int_0^t \sigma(x, \tau) \frac{\partial F(t-\tau)}{\partial t} d\tau \right\} \quad (1.2)$$

Соотношения, аналогичные (1.2), использованы в [11] при построении характеристической разностной схемы для численного решения уравнений деформирования наследственно-упругой гибкой нити при поперечном ударе.

При продольном ударе с постоянной скоростью  $V$  по точке с лагранжевой координатой  $x=0$  недеформированного покоящегося стержня, жестко закрепленного в точке  $x=l$ , для напряжений, деформаций и скоростей  $v(x, t)$  следует поставить начальные и граничные условия

$$v(x, 0) = \sigma(x, 0) = \varepsilon(x, 0) = 0 \quad (0 \leq x \leq l, t \geq 0) \quad (1.3)$$

$$v(0, t) = V, \quad v(l, t) = 0 \quad (1.4)$$

Слабосингулярное ядро (пунктирная кривая на фиг. 1) можно представить в виде ступенчатой функции. Добавим к уравнениям движения соотношение (1.2), которое с учетом (1.3), (1.4) перепишем в виде

$$\rho \frac{\partial \varepsilon(x, t)}{\partial t} = c(\varepsilon)^{-2} \left\{ \frac{\partial \varepsilon(x, t)}{\partial t} + \int_0^t \frac{\partial \sigma(x, t-\tau)}{\partial t} F(\tau) d\tau \right\} \quad (1.5)$$

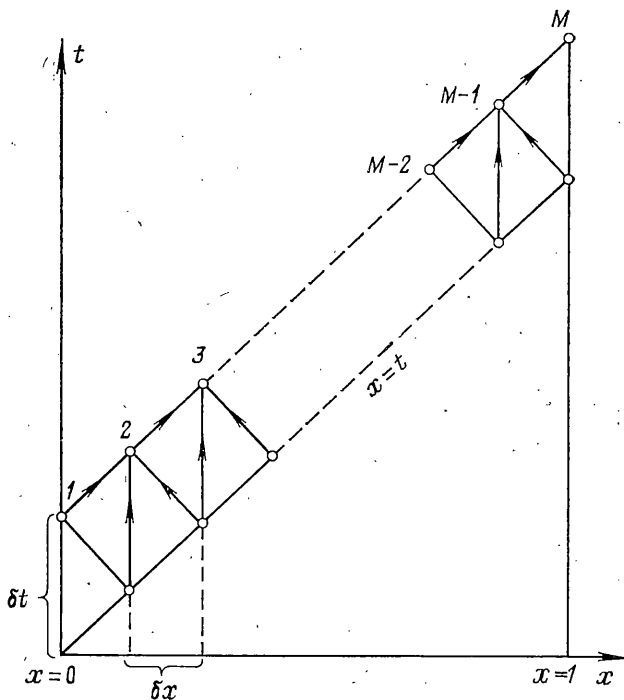
Перейдем к безразмерным независимым и зависимым переменным:  $t^0 = t/\tau_0$ ,  $x^0 = x/l$ ,  $\sigma^0 = \sigma/\sigma_0$ ,  $v^0 = v/c_0$ ,  $c^0(\varepsilon) = c(\varepsilon)/c_0$ ,  $F^0 = \tau_0 F$ ,  $V^0 = V/c_0$ ,  $c_0 = c(0)$ ,  $\tau_0 = l/c_0$ ,  $\sigma_0 = \rho c_0^2$ .

Так как ниже будут встречаться только безразмерные переменные, нулик в верхнем индексе опускается.

Следуя [12], приведем систему из уравнений движения и уравнения (1.5) к нормальной характеристической форме

$$\frac{dx}{dt} = \pm c(\varepsilon), \quad c(\varepsilon) \left[ \frac{dv}{dt} \right]^\pm \mp \left[ \frac{d\sigma}{dt} \right]^\pm = \pm \int_0^t \frac{\partial \sigma(t-\tau)}{\partial t} F(\tau) d\tau \quad (1.6)$$

$$\frac{dx}{dt} = 0, \quad c(\varepsilon)^2 \frac{\partial \varepsilon}{\partial t} = \frac{\partial \sigma}{\partial t} + \int_0^t \frac{\partial \sigma(t-\tau)}{\partial t} F(\tau) d\tau \quad (1.7)$$



Фиг. 2

где  $[dv/dt]^{\pm} = \partial v/\partial t \pm c\partial v/\partial x$  — полная производная по времени вдоль характеристик  $dx = \pm cdt$ ,  $0 \leq x \leq 1$ . При этом  $v(1, t) = 0$ .

Заменяя дифференциальные соотношения на характеристиках разностными, получим оператор пересчета во внутренних точках области на плоскости независимых переменных, в которой ищем решение. Явное выражение этого оператора можно найти в [12]. В точке удара  $x=0$  и точке закрепления  $x=1$  из трех соотношений (1.6), (1.7) следует оставить только два, соответствующих характеристикам, идущим внутрь области  $0 \leq x \leq 1$  (см. фиг. 2), дополняя их граничными условиями (1.4).

2. Построенная схема является вариантом схемы Куранта—Изаксона—Рисса [12—14], и достаточное условие устойчивости имеет вид [12]:  $c_m \delta t \leq \delta x$ , где  $\delta t$  и  $\delta x$  — шаги дискретизации по времени и лагранжевой координате,  $c_m = \max |c(\varepsilon)|$ .

Отметим некоторые особенности организации счета при программной реализации метода. Массивы  $\sigma$  и  $v$  располагались не по временным слоям, как в [12], а по характеристикам, так что в элементах массива  $\sigma(1), \sigma(2), \dots, \sigma(M)$ , где  $M = 1/\delta t + 1$ , находились значения напряжений в точках плоскости  $t, x$ , отмеченных цифрами 1, 2, 3, ...,  $M-1, M$  на фиг. 2.

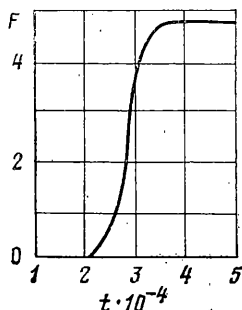
Методика решения обратной задачи основана на следующей особенности решения разностных уравнений, отмеченной в [8] — это решение на характеристике 1 (см. фиг. 2) определяется только значением  $F_1$ , на характеристике 2 — значениями  $F_1$  и  $F_2$ , на характеристике 3 —  $F_1, F_2$  и  $F_3$ , и т. д. вплоть до  $F_N$ . Это дает возможность построить для вычисления  $F_1, F_2, \dots, F_N$  такой алгоритм: полученная при эксперименте зависимость  $\sigma = \psi(t)$ , где  $\psi(t)$  — напряжения в точке жесткой заделки, разбивается с шагом  $\delta t$  на последовательность  $\sigma_k = \psi(k\delta t)$ . Затем, варьируя  $F_1$  и проводя численный просчет по первой характеристике с каждым из этих значений, выбираем такое  $F_1$ , при котором реализуется минимум погрешности  $|\sigma_1 - \sigma(1, M\delta t)|$ . Для поиска этого минимума можно воспользоваться лю-

бым из известных методов (градиентного спуска, случайного поиска, формального поиска).

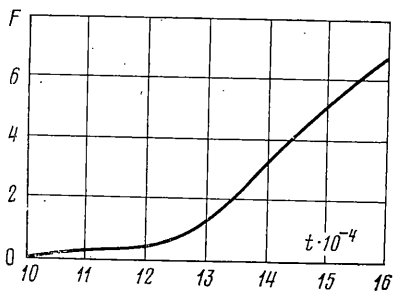
На второй характеристики, исходя из известного решения на первой характеристики, аналогично ищем  $F_2$ , на третьей —  $F_3$  и т. д. С ростом числа параметров  $N$  объем вычислений возрастает линейно.

Если совокупность параметров ядра ( $F_1, F_2, \dots, F_N$ ) и массив ( $\sigma_1, \sigma_2, \dots, \sigma_N$ ) рассматривать как векторы евклидова пространства  $E_N$  размерности  $N$  и обозначить  $F$  и  $\sigma$ , то построенный алгоритм определяет некоторый оператор  $A: E_N \rightarrow E_N$ , а процесс поиска оптимального ядра есть решение операторного уравнения  $A(F) = \sigma$  методом выбора решения по минимальной невязке  $\|A(F) - \sigma\|$  [4].

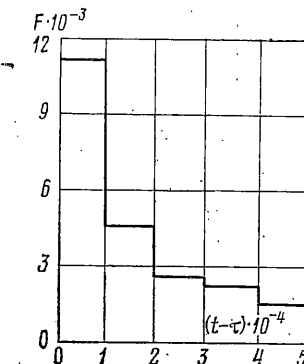
Программа, реализующая методику, составлена на языке ФОРТРАН-4 ЕС ЭВМ. В качестве тесто-



Фиг. 3



Фиг. 4



Фиг. 5

вой задачи было проведено вычисление ядер наследственности по зависимостям напряжение — время, полученным при решении уравнений движения совместно с известным определяющим уравнением по программе, описанной в [12]. При  $\delta x=0,01$  максимальное уклонение восстановленного ядра от исходного не превышало 1,7 %.

Эксперименты состояли в измерении напряжений, возникающих в точке жесткого закрепления капроновых нитей при нагружении продольным ударом с постоянной скоростью от 0,1 до 1,5 м/с. Длина нитей изменялась в пределах от 0,5 до 1,8 м. Для измерения усилий использовался пьезокерамический датчик из титаната бария [15—17]. Сигнал выводился на экран осциллографа С 8-13. Для оценки «размазывания» импульса усилий в точке жесткого закрепления из-за немгновенного характера нагрузления и инерционности измерительной аппаратуры был проведен тестовый эксперимент, при котором продольным ударом нагружалась стальная проволока ОВС-0,3. Осциллограмма, полученная при таком нагружении, показана на фиг. 3. По осям абсцисс и ординат отложены значения времени в секундах и усилия в ньютонах. Несколько более подробное описание экспериментальной установки можно найти в [18].

Осциллограмма, полученная на той же установке для капроновой нити, показана на фиг. 4. Эта осциллограмма и была обработана на ЭВМ. При дискретизации нить разбивалась на 100 участков, т. е. сохранилось то же разбиение, что и при решении тестовых задач. Разбиение экспериментальной зависимости усилие — время проводилось с шагом по времени  $\delta t=0,01$  на 20 участков ( $N=20$ ). Полученная в результате такого разбиения сту-

пенчатая функция обрабатывалась по изложенной выше методике, т. е. служила вектором при вычислении невязки  $\|A(F) - \sigma\|$ .

Исследуемый материал в рассматриваемом диапазоне нагрузок полагали линейно-наследственным, т. е.  $\phi(\varepsilon) = E\varepsilon$ , причем  $E = \rho c_0^2$ , а  $c_0$  нетрудно определить измеряя на той же установке время прохождения сигнала по нити. Полученное ядро приведено на фиг. 5. Значения по оси ординат даны в обратных секундах.

## ЛИТЕРАТУРА

1. Работнов Ю. Н. Ползучесть элементов конструкций. М.: Наука, 1966. 752 с.
2. Работнов Ю. Н. Элементы наследственной механики твердых тел. М.: Наука, 1977. 383 с.
3. Shuler K. W. Propagation of steady shock waves in polymethylmethacrylate. — J. Mech. Phys. Solids, 1970, v. 18, p. 277–293.
4. Тихонов А. Н., Арсенин В. Я. Методы решения некорректных задач. М.: Наука, 1974. 233 с.
5. Осокин А. Е., Суворова Ю. В. Нелинейное определяющее уравнение наследственной среды и методика определения его параметров. — ПММ, 1978, т. 42, вып. 6, с. 1107–1114.
6. Звонов Е. Н., Малинин Н. И., Панерник Л. Х., Цейтлин Б. М. Определение характеристик ползучести линейных упруго-наследственных материалов с использованием ЭЦВМ. — Инж. ж. МТТ, 1968, № 5, с. 76–82.
7. Работнов Ю. Н., Панерник Л. Х., Звонов Е. Н. Таблицы дробно-экспоненциальной функции отрицательных параметров и интеграла от нее. М.: Наука, 1969. 132 с.
8. Осокин А. Е. Методика расчета определяющего уравнения наследственной теории по данным динамического эксперимента. — Тр. Моск. физ.-техн. ин-та. Сер. аэрофиз. и прикл. матем., 1978, с. 71–72.
9. Локшин А. А., Рок В. Е. Фундаментальные решения волновых уравнений с запаздывающим временем. — Докл. АН СССР, 1978, т. 239, № 6, с. 1305–1308.
10. Локшин А. А. Волновые уравнения с сингулярно запаздывающим временем. — Докл. АН СССР, 1978, т. 240, № 1, с. 43–46.
11. Рахматуллин Х. А., Осокин А. Е. О поперечном ударе по вязкоупругой гибкой нити. — Вестн. МГУ. Сер. матем., механ., 1977, № 4, с. 90–95.
12. Суворова Ю. В., Осокин А. Е. Распространение одномерных волн в нелинейной наследственной среде. — Механика полимеров, 1978, № 3, с. 425–429.
13. Courant R., Isacson E., Rees M. On the solution of nonlinear hyperbolic differential equations by finite differences. — Commun. pure and Appl. Math., 1952, v. 5, No. 3, p. 243–254.
14. Кукуджанов В. Н. Одномерные задачи распространения волн напряжений в стержнях. — Сообщ. по прикл. матем. ВЦ АН СССР, 1977, вып. 7. 54 с.
15. Кудрявцев Б. А. Механика пьезокерамических материалов. — В кн.: Итоги науки и техники. Сер. Механика деформируемого твердого тела, т. 11. М.: ВИНИТИ, 1978; с. 5–66.
16. Малов В. В. Пьезорезонансные датчики. М.: Энергия, 1978. 248 с.
17. Домбровский Г. А., Литвинов Г. В., Малышев Б. М. Продольный растягивающий удар по натянутой проволоке. — Инж. ж. МТТ, 1968, № 2, с. 106–110.
18. Осокин А. Е., Пряхин Г. В. Методика измерения напряжений в точке жесткого закрепления нити при продольных ударах с малой скоростью. — Тр. Моск. физ.-техн. ин-та. Сер. аэрофиз. и прикл. матем., 1980, с. 21–22.

Москва

Поступила в редакцию  
18.II.1980